

بهبود روش انتقال پایدار برای تحلیل قابلیت اعتماد مرتبه اول*

(یادداشت پژوهشی)

بهرز کشته گر^(۱)

چکیده روش انتقال پایدار یک روش ساده و مؤثر در کنترل ناپایدار عددی روش قابلیت اعتماد مرتبه اول (FORM) بر مبنای تئوری کنترل اغتشاشات می باشد. کارایی و قدرتمندی روش انتقال پایدار وابسته به انتخاب پارامترهای آن است که شامل ماتریس اجباری و طول گام در تحلیل قابلیت اعتماد می باشد. با انتخاب نامناسب طول گام و ماتریس اجباری رویه تکرار انتقال پایدار ممکن است واگرا، همگرایی نامطلوب و یا همگرایی کندی داشته باشد. در این مقاله رویه انتقال پایدار با پیشنهاد یک طول گام دینامیکی ساده و ماتریس اجباری برابر واحد بهبود بخشیده شده است. طول گام پیشنهادی بر مبنای اطلاعات تکرار مراحل جدید و قبلی روش FORM به طور دینامیکی قابل محاسبه است. کارایی و همگرایی روش بهبود یافته انتقال پایدار با روش انتقال پایدار و طول گام بی نهایت به کمک پنج مثال عددی و مکانیکی برگرفته از مراجع مقایسه گردیده است. نتایج حاکی از آن است که روش بهبود یافته انتقال پایدار نه تنها پایداری عددی مسائل غیرخطی قابلیت اعتماد را تضمین می کند بلکه کارایی بیشتری نسبت به روش انتقال پایدار جهت تخمین احتمال خرابی دارد.

واژه های کلیدی روش قابلیت اعتماد مرتبه اول؛ روش انتقال پایدار؛ طول گام دینامیکی.

Improvement of Stability Transformation Method for First Order Reliability Analysis

B. Keshtegar

Abstract The stability transformation method (STM) of chaos feedback control is a simple and efficient approach to implement the convergence control of the first order reliability method (FORM). The robustness and efficiency of the STM are depended on selected parameters of this algorithm such that involuntary matrix and step size in structural reliability analysis. When involuntary matrix and step size are inappropriately selected, the STM iterative formula can be prematurely and slowly converged. In this paper, the STM scheme was improved based on a simple dynamical step size and the involuntary matrix equals to unit matrix. The proposed dynamical step size can be computed using the new and previous results of the FORM iterative formula. The efficiency and robustness of improved STM was compared with the STM and finite-step length methods from five numerical and mechanical examples taken through the literature. The results impales that the improved STM not only ensured the numerical stability of nonlinear mechanical problems but also is more efficient than the STM to approximate the failure probability.

Key Words First order reliability method; stability transformation method; dynamical step size.

* تاریخ دریافت مقاله ۹۳/۱۰/۲ و تاریخ پذیرش آن ۹۴/۷/۲۰ می باشد. DOI: 10.22067/fum-mech.v28i2.42636

(۱) استادیار، گروه مهندسی عمران، دانشکده مهندسی، دانشگاه زابل. bkeshtegar@uoz.ac.ir

مقدمه

انواع عدم قطعیت در مقدار بار وارد، هندسه و خواص مصالح به کمک تحلیل احتمالاتی اجزای سازه‌ای و مکانیکی قابل در نظر گرفتن است. تلاش اساسی در تحلیل اولین مرتبه قابلیت اعتماد (First Order Reliability Method (FORM)) محاسبه شاخص قابلیت اعتماد (Reliability index) (β) می‌باشد که براساس حداقل فاصله بین سطح خرابی و مبده در فضای نرمال استاندارد تعریف می‌گردد [1, 2] که می‌تواند مشابه یک مسئله بهینه‌سازی رابطه‌سازی گردد [3]:

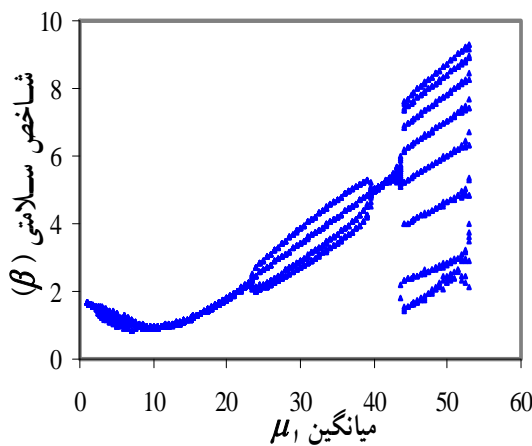
$$\begin{aligned} \min \beta &= |U| = \sqrt{U^T \cdot U} \\ \text{s.t. } g(U) &= 0 \end{aligned} \quad (1)$$

باتوجه به مسئله فوق، نیازمند الگوریتم‌های مناسب بهینه‌سازی برای تحلیل مسائل قابلیت اعتماد هستیم. از این رو الگوریتم‌های مبتنی بر تکرار توسط محققان مختلف ارائه و معرفی شده‌اند [2-9]. یک روش تکراری توسط هاسفر و لیند [1] ابداع شده است که بعدها توسط رکویتر و فسler [4] با حفظ ماهیت تابع توزیع متغیرهای تصادفی غیرنرمال در فضای نرمال بهبود بخشیده شد که به نام HL-RF معروف است و کاربرد زیادی در مسائل قابلیت اعتماد دارد [3]. چندین روش بهینه‌سازی از جمله گرادیان، روش ضرایب لاگرانژ، روش برنامه‌ریزی غیرخطی به منظور تعیین شاخص قابلیت اعتماد توسط لیو و Der Kiureghian مقایسه شد [5]. هم‌چنین آنها به کمک یک تابع شایسته (Merit function) به منظور نمایش همگرایی روش HL-RF، این الگوریتم را بهبود بخشیدند [5]. رویه بهبود یافته HL-RF [5] به کمک طول گام (size Step) انتخاب شده براساس قاعده آرمیجو (Armijo) توسط سانتوش و همکاران ارتقا یافت [6]. در مسائل بسیار غیرخطی قابلیت اعتماد روش‌های بهبود یافته HL-RF [5, 6] ممکن است به نقاط کمینه محلی همگرا گردند

و یا این که نرخ هم‌گرایی پایینی داشته باشند [7, 3]. در سال‌های اخیر، یانگ الگوریتم HL-RF را با استفاده از روش انتقال پایدار مبتنی بر تئوری اغتشاشات بهبود بخشیده است [7] و با استفاده از رویه انتقال پایدار (Stability Transformation Method (STM)) همگرایی رویه HL-RF را تضمین نمودند. هم‌چنین، گنگ و یای براساس تعریف یک طول گام بزرگ، یک الگوریتم تکرار قابلیت اعتماد پایه‌گذاری نمودند [8]. انتخاب ضریب کنترل کوچک در رویه انتقال پایدار و هم‌چنین طول گام بزرگ الگوریتم مرجع [8]، منجر به دستیابی پاسخ پایدار با تعداد تکرار زیاد می‌گردد. در سال ۲۰۱۳ کشته‌گر و میری، یک رویه تعدیل برای بهبود روش HL-RF پیشنهاد نمودند [9]. هم‌چنین آنها روش بهینه‌سازی گرادیان مزدوج برای تخمین شاخص قابلیت اعتماد را استفاده کردند [3, 10]. محاسبه طول گام و هم‌چنین بردار امتداد جستجو در الگوریتم گرادیان مزدوج [3, 10] نیاز به محاسبات پیچیده داشته است اما نسبت به رویه HL-RF توانمندتر و نسبت به رویه انتقال پایدار کارا تر می‌باشد.

روش HL-RF در مسائل غیرخطی و پیچیده مهندسی، ممکن است دچار ناپایداری عددی از جمله آشفتگی، دوشاخه‌ای شدن و نوسان گردد. روش انتقال پایدار برای فائق آمدن بر مشکلات همگرایی روش HL-RF بسط داده شد [7]. روش انتقال پایدار برخلاف روش گرادیان مزدوج [3, 10] برای تخمین بردار امتداد جستجو و طول گام نیازی به محاسبات پیچیده ندارد، اما همگرایی آن وابسته به انتخاب مناسب پارامترهایی مانند طول گام و ماتریس اجباری دارد. به طوری که، با انتخاب نامناسب طول گام رویه تکرار ممکن است واگرایی و یا همگرایی کندی داشته باشد. در این مقاله یک طول گام دینامیکی پیشنهاد شده است که به سادگی براساس متغیرهای طراحی تکرارهای جدید و قبلی قابل محاسبه است. توانمندی و کارایی رویه بهبود یافته انتقال پایدار با روش‌های

است. در شکل (۱) قیاسی از همگرایی رویه تکرار HL-RF نسبت به مقدار میانگین متغیر تصادفی x_1 نشان داده شده است. همان‌طوری‌که مشخص است رویه تکرار HL-RF دچار همگرایی به صورت نوسانی ($25 < \mu_1 < 50$)، دوشاخه‌ای شدن ($5 < \mu_1 < 25$) و اغتشاش ($\mu_1 > 50$) شده است. از این‌رو، پایداری عددی تکرارهای متوالی رویه HL-RF را می‌توان به کمک روش انتقال پایدار بهبود بخشید [7].



شکل ۱ همگرایی نگاشت رویه FORM به صورت نوسانی، اغتشاش و دو شاخه‌ای شدن

روش انتقال پایدار (STM)

رویه انتقال پایدار توسط چمپلجر و دیکونوس در مسائل غیرخطی فیزیکی بیان شد و کاربرد موفقی در الگوریتم‌های تکراری دارد [13]. در رویه STM یک سیستم دینامیکی را می‌توان به صورت زیر گسسته‌سازی نمود [7, 14]:

$$r_{k+1} = r_k + \lambda C[f(r_k) - r_k] \quad (5)$$

که در آن r_{k+1} نقطه گسسته در گام $k+1$ و $f(r_k)$ مقدار تابع می‌باشد. C ماتریس اجباری است که یک ماتریس ثابت و معین است و λ طول گام است که

انتقال پایدار، روش طول گام بی‌نهایت [8]، HL-RF و گرادیان مزدوج [۱۰] با ذکر پنج مثال ریاضی غیرخطی و مکانیکی پیچیده بررسی شده است. نتایج نشان می‌دهد که رویه بهبودیافته انتقال پایدار با تعداد تکرار بسیار کمتری نسبت به رویه انتقال پایدار و طول گام بی‌نهایت همگرا شده است.

روش اولین مرتبه قابلیت اعتماد (FORM)

هدف اساسی در روش اولین مرتبه قابلیت اعتماد تعیین نقطه حداکثر محتمل (U^*) برای تخمین احتمال خرابی است [3, 7]:

$$P_f = 1 - \int_{-\infty}^{\beta} \frac{1}{\sqrt{2\pi}} \exp\left[-\frac{1}{2}(U)^2\right] du = \Phi(-\|U^*\|) \quad (2)$$

که در آن U متغیر نرمال استاندارد است. رابطه تکرار رویه HL-RF برای محاسبه نقطه حداکثر محتمل به صورت زیر است [3]:

$$U_{k+1} = \frac{1}{\|\nabla g(U_k)\|} [\nabla^T g(U_k) U_k - g(U_k)] \nabla g(U_k) \quad (3)$$

که در آن $\nabla g(U) = [\partial g / \partial u_1, \partial g / \partial u_2, \dots, \partial g / \partial u_n]^T$ بردار گرادیان تابع حالت حدی (Limit state function) در فضای نرمال استاندارد می‌باشد. پاسخ معادله (۳) در تحلیل مرتبه اول به میانگین (μ) و انحراف معیار (σ) متغیرهای تصادفی وابسته است. همگرایی روش تحلیل مرتبه اول HL-RF (رابطه ۳)، به کمک یک تابع غیرخطی به صورت زیر بررسی شده است [7, 12]:

$$g_1 = x_1^4 + 2x_2^4 - 20 \quad (4)$$

که در آن x_1 و x_2 متغیرهای تصادفی نرمال با مقادیر میانگین $\mu_1 = \mu_2 = 10$ و انحراف معیار $\sigma_1 = \sigma_2 = 5$

اعتماد را تضمین می‌کند اما دو نقص اساسی دارد:

- ۱- به علت انتخاب ضریب λ بسیار کوچک، همگرایی مسئله با تعداد تکرار بالا صورت می‌پذیرد. از اینرو زمان تحلیل مسئله افزایش می‌یابد و نمی‌تواند یک روش کارا برای مسائل پیچیده باشد.
- ۲- در برخی مسائل انتخاب نامناسب ماتریس C موجب واگرایی حل می‌شود. به عنوان مثال $C = -I$ ، رابطه تکرار (۷) نقطه‌ای را جستجوی می‌کند که حداکثر فاصله را تا مبدأ دارد.

بهبود روش انتقال پایدار

مطابق با رابطه تکرار معادله (۷) در روش بهبودیافته انتقال پایدار مقدار ماتریس C برابر با ماتریس واحد ($C = I$) پیشنهاد شده، لذا داریم که:

$$U_{k+1} = U_k + \lambda_k (f(u_k) - U_k) \quad (9)$$

که در آن، λ_k طول گام دینامیکی است که به صورت رابطه (۱۰) پیشنهاد می‌شود.

$$\lambda_k = \frac{\|f(u_k) - U_k\|}{m\pi\lambda_{k-1}} \quad (10)$$

که در آن m یک عدد طبیعی و به عنوان ضریب طول گام معرفی می‌شود که یک پارامتر کنترل کننده طول گام است. بر این اساس الگوریتم ارائه شده به صورت گام‌های زیر قابل تدوین در یک برنامه کامپیوتری است.

۱- حدس مقادیر اولیه $k=0$ و مقادیر اولیه به صورت

$$\varepsilon = 10^{-6} \text{ و } \lambda_0 = 1 \text{ و } x_0 = [\mu_{x_1}, \mu_{x_2}, \mu_{x_3}, \dots, \mu_{x_n}]^T$$

۲- محاسبه گرادیان تابع شرایط حدی در نقطه U_k .

۳- محاسبه بردار طراحی جدید مطابق با رابطه (۸)

۴- محاسبه طول گام دینامیکی براساس روابط (۱۰)

عددی بین صفر و یک می‌باشد و عمدتاً مقدار آن خیلی کمتر از یک انتخاب می‌گردد. ماتریس اجباری C به صورت یک ماتریس متعامد تعریف شده است که در هر سطر و ستون این ماتریس فقط عدد ۱ یا -۱ جا داشته باشد و بقیه درایه‌های ماتریس صفر باشد. برای یک سیستم دوبعدی می‌توان ماتریس‌های C را به صورت (۶) تعریف نمود.

$$\begin{aligned} C_1 &= \begin{pmatrix} 1 & 0 \\ 0 & 1 \end{pmatrix}, & C_2 &= \begin{pmatrix} -1 & 0 \\ 0 & 1 \end{pmatrix}, \\ C_3 &= \begin{pmatrix} 0 & 1 \\ -1 & 0 \end{pmatrix}, & C_4 &= \begin{pmatrix} 0 & -1 \\ -1 & 0 \end{pmatrix} & (6) \\ C_5 &= \begin{pmatrix} -1 & 0 \\ 0 & -1 \end{pmatrix}, & C_6 &= \begin{pmatrix} 1 & 0 \\ 0 & -1 \end{pmatrix}, \\ C_7 &= \begin{pmatrix} 0 & -1 \\ 1 & 0 \end{pmatrix}, & C_8 &= \begin{pmatrix} 0 & 1 \\ 1 & 0 \end{pmatrix} \end{aligned}$$

حال با استفاده از این تئوری روش STM برای تخمین احتمال خرابی بیان می‌گردد.

کنترل اغتشاش رویه FORM با استفاده

از روش STM

رابطه تکراری FORM با استفاده از روش STM را می‌توان مطابق با گسسته‌سازی معادله (۵)، به صورت (۷) باز نویسی نمود [7]:

$$U_{k+1} = U_k + \lambda C (f(u_k) - U_k) \quad (7)$$

که در آن $f(u_k)$ برابر با مقدار بردار طراحی جدید از رویه HL-RF (رابطه ۳) می‌باشد.

$$f(u_k) = \frac{1}{|\nabla g(U_k)|^2} [\nabla^T g(U_k) U_k - g(U_k)] \nabla g(U_k) \quad (8)$$

این روش اگرچه همگرایی یک مسئله قابلیت

پایدار (ISTM) مناسب است و منتج به همگرایی رویه STM می‌شود.

در جدول (۲) نتایج همگرایی (تعداد تکرار و شاخص قابلیت اعتماد) مثال رابطه (۴) نسبت به طول گام‌های مختلف روش انتقال پایدار و نیز طول گام دینامیکی روش بهبودیافته ارائه شده است. مشخص است که روش انتقال پایدار برای این مثال در طول گام‌های پایین ($\lambda < 0.1$) همگرایی موفقی دارد اما این همگرایی مستلزم تعداد تکرار بالایی است (به‌ازای طول گام‌های خیلی کوچک مثلاً $\lambda = 0.01$ تعداد تکرار در حدود ۱۴۳۵ می‌باشد). به‌ازای طول گام‌های ۰/۱۵ و ۰/۲ در روش انتقال پایدار همگرایی به‌صورت نوسانی به‌ترتیب برابر (۲/۲۷۷۰۸، ۲/۲۷۶۸۳) و (۲/۱۳۰۹۶، ۲/۱۳۱۹۹) شده است. اما روش بهبودیافته انتقال پایدار (ISTM) موجب همگرایی با تعداد تکرار بسیار کمتری شده، لذا روش ISTM موجب افزایش کارایی رویه انتقال پایدار شده است.

۵- محاسبه مقدار بردار طراحی کنترل‌شده براساس رابطه بهبودیافته انتقال پایدار (۹).

۶- محاسبه مقدار شاخص قابلیت اعتماد به‌صورت

$$\beta_{k+1} = (U_{k+1}^T \times U_{k+1})^{1/2}$$

۷- کنترل همگرایی مسئله $(|\beta_{k+1} - \beta_k| \leq \varepsilon)$ در صورت همگرا شدن توقف رویه تکرار.

۸- تعویض $k=k+1$ و بازگشت به مرحله ۲.

بررسی مشکلات همگرایی روش انتقال پایدار

همان‌طور که اشاره شد مشکلات همگرایی روش انتقال پایدار به انتخاب پارامترهای λ و C مرتبط است. در جدول (۱) نتایج همگرایی روش انتقال پایدار نسبت ماتریس‌های اجباری ارائه شده در رابطه (۶) برای مثال تابع شرایط حدی رابطه (۴) درج شده است. همان‌طوری‌که مشخص است به‌ازای ماتریس $C = I$ همگرایی حاصل گردیده است و برای سایر ماتریس‌های اجباری همگرایی حاصل نشده است. از این‌رو، فرض $C = I$ در روش بهبود یافته انتقال

جدول ۱ مقایسه همگرایی شاخص قابلیت اعتماد مثال ۱ نسبت به ماتریس اجباری رویه STM ($\lambda=0.05, \varepsilon=10^{-6}$)

C1	C2	C3	C4	C5	C6	C7	C8	ماتریس اجباری
۲/۳۶۵۴۳۵	واگرا	واگرا	واگرا	واگرا	اغتشاش	اغتشاش	واگرا	β
۳۱۷	همگرا نشده است							تکرار

جدول ۲ مقایسه همگرایی شاخص قابلیت اعتماد مثال ۱ نسبت به طول گام ($m = I$ و $C = I, \varepsilon=10^{-6}$)

ISTM	۰/۲	۰/۱۵	۰/۱	۰/۰۵	۰/۰۱	۰/۰۰۵	۰/۰۰۱	طول گام
۲/۳۶۴۸۸۰	نوسانی-تناوبی		۳/۳۶۵۴۴۶	۳/۳۶۵۴۳۶	۲/۳۶۵۳۵۳	۲/۳۶۵۲۵۶	۲/۳۶۴۴۵۲	β
۷۹	همگرا نشده است		۱۶۴	۳۱۷	۱۴۳۵	۲۷۳۳	۱۲۰۵۵	تکرار

مثال‌های عددی و مکانیکی

x_1 از تابع توزیع حداکثر نوع II با میانگین ۱۰ و انحراف معیار ۵، متغیرهای x_2 و x_3 از تابع توزیع نرمال به ترتیب با میانگین ۲۵ و ۰/۸ و انحراف معیار ۵ و ۰/۲ و متغیر x_4 از تابع لوگ-نرمال با میانگین ۰/۰۶۲۵ و انحراف معیار ۰/۰۶۲۵ پیروی می‌کنند.

مثال ۴: سازه مخروطی. تابع شرایط حدی یک دودکش تحت بار محوری P و لنگر خمشی M به صورت (۱۴) بیان می‌شود [2, 9]:

$$g_4 = 1 - \frac{\sqrt{3(1-v^2)}}{\pi E t^2 \cos^2 \alpha} \times \left(\frac{P}{2\gamma} + \frac{M}{\eta r_1} \right) \quad (14)$$

که در آن ضرایب γ و η به ترتیب ضریب نیروی محوری و لنگر خمشی و برابر با ۰/۳۳ و ۰/۴۱ و ν ضریب پواسون برابر با ۰/۳ می‌باشد. این مسئله دارای ۶ متغیر تصادفی نرمال می‌باشد که خصوصیات آماری آنها در جدول (۳) ارائه شده است.

مثال ۵: سیستم دینامیکی دو درجه آزادی. مطابق با سیستم دینامیکی دو درجه آزادی نشان داده شده در شکل (۲) خواص آن به صورت جرم‌های متمرکز M_p و M_s ، سختی فنرهای K_p و K_s ، فرکانس‌های طبیعی $\omega_p = \sqrt{\frac{K_p}{M_p}}$ و $\omega_s = \sqrt{\frac{K_s}{M_s}}$ و ضرایب میرایی ξ_p و ξ_s تعریف می‌گردد.

به منظور بررسی کارایی و عملکرد روش بهبودیافته انتقال پایدار از پنج مثال متنوع برگرفته از مراجع استفاده شده است.

مثال ۱: تابع غیرخطی. تابع حالت حدی (۱۱) در نظر گرفته شده است [9].

$$g_1 = x_1^4 + 2x_2^4 - 20 \quad (11)$$

x_1 و x_2 متغیرهای نرمال با میانگین $\mu_1 = \mu_2 = 10$ و انحراف معیار $\sigma_1 = \sigma_2 = 5$ است.

مثال ۲: تابع ریاضی بسیار غیرخطی. تابع حالت حدی بسیار غیرخطی به صورت رابطه (۱۲) می‌باشد [8]:

$$g_2 = 0.1 \ln \{ \exp[10(1 + x_1 - x_2)] + \exp[10(5 - 5x_1 - x_2)] \} \quad (12)$$

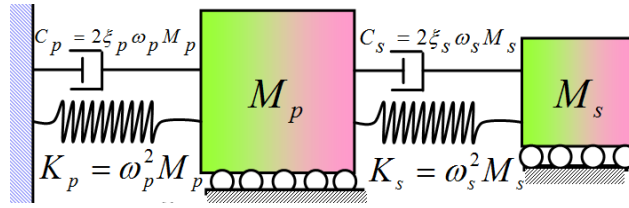
x_1 و x_2 متغیرهای تصادفی نرمال استاندارد هستند.

مثال ۳: تابع پاسخ غیرخطی و غیرنرمال. این مثال براساس برآزش پاسخ سطح مطابق با رابطه (۱۳) پیشنهاد گردیده است [7-9].

$$g_3 = 1.1 - 0.00115x_1x_2 + 0.00157x_2^2 + 0.00117x_1^2 + 0.0135x_2x_3 - 0.0705x_2 - 0.00534x_1 - 0.0149x_1x_3 - 0.0611x_2x_4 + 0.0717x_1x_4 - 0.226x_3 + 0.0333x_3^2 - 0.558x_3x_4 + 0.998x_4 - 1.339x_4^2 \quad (13)$$

جدول ۳ خصوصیات آماری متغیرهای تصادفی مثال ۴

متغیر	E (MPa)	t (m)	α (rad)	r_1 (m)	M (N-m)	P (N)
میانگین	۷۰۰۰۰	۰/۰۰۲۵	۰/۵۲۴	۰/۹	۸۰۰۰۰	۷۰۰۰۰
ضریب تغییرات	۰/۰۵	۰/۰۵	۰/۰۲	۰/۰۲۵	۰/۰۸	۰/۰۸



شکل ۲ نمایش سیستم دو درجه آزادی مثال ۵ [3]

جدول ۴ خصوصیات آماری متغیرهای تصادفی مثال ۵

متغیر	میانگین	انحراف معیار	متغیر	میانگین	انحراف معیار
M_p	۱	۰/۱	ξ_p	۰/۰۵	۰/۰۲
M_s	۰/۰۱	۰/۰۰۱	ξ_s	۰/۰۲	۰/۰۱
K_p	۱	۰/۲	F_s	۱۵	۱/۵
K_s	۰/۰۱	۰/۰۰۲	S_0	۱۰۰	۱۰

ارزیابی روش ارائه شده ISTM

از پنج مثال فوق برای مقایسه صحت همگرایی و تعداد تکرار دو الگوریتم STM و ISTM استفاده شده است. در تحلیل قابلیت اعتماد مطابق با روش پیشنهادی ISTM مقدار ضریب m در رابطه (۱۰) برابر با ۱ و $\epsilon=10^{-6}$ در نظر گرفته شده است.

تعداد تکرار و شاخص قابلیت اعتماد به کمک روش انتقال پایدار و روش بهبودیافته انتقال پایدار در جدول (۵) مقایسه شده است. مشخص است که روش ISTM در تمامی مثال‌ها با تعداد تکرار کمتری نسبت به روش STM همگرا شده است (مثال‌های ۱ و ۲ و ۵). هم‌چنین برای مسائل پیچیده با درجه غیرخطی متوسط، همگرایی بسیار مناسبی از روش ISTM حاصل شده است به طوری که تعداد تکرار آن نزدیک به نتایج همگرا شده حداکثر طول گام روش انتقال پایدار می‌باشد (مثال‌های ۳ و ۴). انتخاب دینامیکی طول گام نه تنها موجب همگرایی مناسب شده بلکه نیاز به سعی و خطا برای تحلیل قابلیت اعتماد پایدار ندارد.

تابع شرایط حدی به صورت رابطه (۱۵) است

[3,15]

$$g_s = F_s - K_s \times P(E[x_s^2])^{1/2} \quad (15)$$

که در آن P برابر با ۳ در نظر می‌گیریم و

$$E[x_s^2] = \frac{\pi S_0}{4 \xi_s \omega_s} \left[\frac{\xi_p \xi_s}{\xi_p \xi_s (4 \xi_a^2 + \theta^2) + \gamma \xi_a^2} \times \frac{(\xi_p \omega_p^3 + \xi_s \omega_s^3) \omega_p}{4 \xi_a \omega_a^4} \right] \quad (16)$$

که در آن $\gamma = \frac{M_s}{M_p}$ ضریب جرم و $\omega_a = \frac{\omega_p + \omega_s}{2}$

میانگین فرکانسی و $\xi_a = \frac{\xi_p + \xi_s}{2}$ میانگین ضریب

میرایی دو سیستم و $\theta = \frac{\omega_p - \omega_s}{\omega_a}$ پارامتر تعدیل است

[10, 15]. این مثال شامل ۸ متغیر تصادفی لوگ-نرمال

است که خصوصیات آماری آنها در جدول (۴) ارائه شده است.

جدول ۵ مقایسه نتایج همگرایی روش انتقال پایدار و بهبودیافته آن نسبت به طول گام‌های مختلف

روش ISTM	روش STM					طول گام	مثال‌ها		
	۰/۶	۰/۴	۰/۲	۰/۱	۰/۰۱				
۲/۳۶۴۸۸	همگرا شده به صورت نوسانی					۲/۳۶۵۴۵	۲/۳۶۵۳۶	β	۱#
۷۹						۱۶۴	۱۴۳۵	تکرار	
۱/۸۴۲۹۹	همگرایی همراه با اغتشاش					۱/۸۴۵۳۹		β	۲#
۵۸۱						۱۰۷۲	تکرار		
۱/۳۳۰۱۳	۱/۳۳۰۵۴	۱/۳۳۰۵۴	۱/۳۳۰۵۳	۱/۳۳۰۵۳	۱/۳۳۰۴۴		β	۳#	
۲۳	۱۸	۲۸	۵۷	۱۱۱	۹۱۱	تکرار			
۴/۷۹۷۰۸	۴/۷۹۶۸۹	۴/۷۹۶۸۹	۴/۷۹۶۱۹	۴/۷۹۵۴۹	۴/۷۹۵۴۹		β	۴#	
۲۰	۲۱	۴۷۲	۱۲۲۴	۱۴۸	۸۱۱	تکرار			
۲/۰۱۵۶۳	همگرایی همراه با اغتشاش		همگرایی نوسانی	۲/۰۱۶۴۳	۲/۰۱۶۳۴		β	۵#	
۸۸				۱۲۰	۱۹۷۳	تکرار			

تأثیر ضریب طول گام بر همگرایی روش بهبودیافته انتقال پایدار

نتایج حاصل طول گام دینامیکی در چندین مثال نسبت به ضریب m در شکل (۳) نشان داده شده است. مشخص است که تغییر ضریب طول گام (m) ممکن است تعداد تکرار را تغییر دهد اما میزان تغییرات چندان نبوده و این طول گام در تکرارهای متوالی روش ISTM توانایی تطبیق مناسب را داراست. به طوری که، در تکرارهای نهایی مقداری طول گام در اکثر ضرایب m ، بسیار نزدیک به هم شده است. هم چنین با توجه به میزان غیرخطی بودن تابع حالت حدی این ضریب توانایی خود تطبیقی را دارد. به طوری که در مثال ۱ و ۲ در تکرارهای نهایی به ترتیب در محدوده ۰/۲ تا ۰/۰۵ و ۰/۰۵ تا ۰/۰۱ نوسان می‌کند.

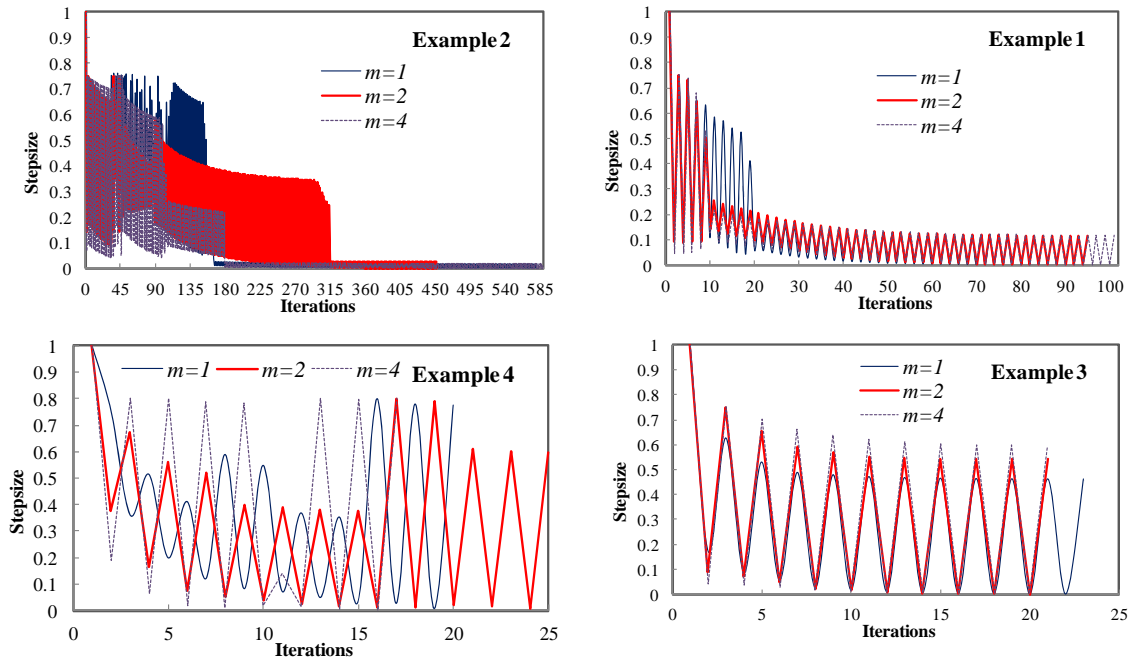
بحث نتایج عددی

نتایج چهار الگوریتم اولین مرتبه قابلیت اعتماد مانند روش HL-RF، روش انتقال پایدار (STM) [7] (با طول گام برابر با ۰/۱)، روش گرادیان مزدوج [3, 10] و هم چنین روش طول گام بی‌نهایت [8] (با طول گام

برابر با ۱۵) با روش ارائه شده بهبودیافته انتقال پایدار (ISTM) (با طول گام رابطه (۱۰) به ازای m برابر با ۱) مقایسه شده است. در جدول (۶) نتایج شاخص قابلیت اعتماد (β) و تعداد برآورد تابع شرایط حدی (Ng) نشان شده است. مشخص است که روش HL-RF در این مثال‌ها همگرا نشده اما، روش انتقال پایدار همگرایی مناسب دارد. از طرفی، روش گرادیان مزدوج مرجع [۱۰] در مثال‌های با درجه غیرخطی بالا (مثال‌های ۱ و ۲) همگرایی مغشوش داشته است. روش گرادیان مزدوج از روش انتقال پایدار کاراتر است اما در مسائل غیرخطی توانمندی کمتری دارد. کارایی روش طول گام بی‌نهایت بیشتر از روش STM می‌باشد، اما توانمندی یکسانی از آنها در این مثال‌ها مشاهده شده است. روش STM در توابع حالت حدی پیچیده نیاز به انتخاب طول گام پایین دارد که این امر موجب افزایش تعداد تکرار و در نتیجه افزایش تعداد برآورد تابع شرایط حدی می‌شود (مثال ۱، ۳ و ۴). از طرفی انتخاب دینامیکی طول گام روش ISTM علاوه بر تضمین همگرایی مناسب (مثال ۲) در مواردی تعداد برآورد تابع حالت حدی را به شدت نسبت به

آن مشابه با روش گرادیان مزدوج است، اما در مسائل غیرخطی نسبت به روش گرادیان مزدوج بسیار توانمندتر است.

روش‌های STM و طول گام بی‌نهایت (مثال‌های ۳ و ۴) کاسته است. کارایی روش بهبودیافته انتقال پایدار مشابه با روش گرادیان مزدوج است و تعداد برآورد در



شکل ۳ تأثیر ضریب طول گام بر همگرایی روش بهبودیافته انتقال پایدار

جدول ۶ مقایسه شاخص قابلیت اعتماد و تعداد برآورد تابع شرایط حدی روش اولین مرتبه قابلیت اعتماد

مثال	روش HL-RF β (Ng)	روش STM β (Ng)	روش ارائه شده ISTM β (Ng)	روش طول گام بینهایت β (Ng)	گرادیان مزدوج β (Ng)	نتایج مراجع
۱	نوسانی (۰/۹۸۶۳ ، ۰/۹۲۶۷)	۲/۳۶۵۴۵ (۸۲۰)	۲/۳۶۴۸۸ (۳۹۵)	۲/۳۶۵۴۵ (۵۴۰)	همگرایی همراه با اغتشاش	[11]۲/۳۶۵۴ [9]۲/۳۶۵۳۷
۲	نوسانی (۰/۷۰۷۱ ، ۰/۹۸۰۶)	اغتشاش	۱/۸۴۲۹۹ (۲۹۰۵)	نوسانی	همگرایی همراه با اغتشاش	[8]۱/۸۴۵۵
۳	نوسانی (۱/۰۴۹۶ ، ۱/۱۵۳۶)	۱/۳۳۰۵۳ (۹۹۹)	۱/۳۳۰۱۳ (۲۰۷)	۱/۳۳۰۵۴ (۱۹۸)	۱/۳۳۰۵۶ (۳۶۸)	[5] ۱/۳۳۰۵۶ [7] ۱/۳۳۰۵ [8] ۱/۳۳۰۵۳
۴	حل مغشوش	۴/۷۹۵۴۹ (۱۶۲۸)	۴/۷۹۷۰۸ (۲۳۴)	۴/۷۹۶۸۸ (۳۰۶)	۴/۷۹۶۸۶ (۲۵۲۰)	[2] ۴/۸۸۳ [9] ۴/۷۹۴۲۹
۵	نوسانی (۴/۲۱۷۱ ، ۴/۹۸۰۷)	۲/۰۱۶۴۳ (۲۵۲۰)	۲/۰۱۵۶۳ (۱۴۹۶)	۲/۰۱۶۴۶ (۱۲۷۵)	۲/۰۱۶۶۲ (۱۳۷۲)	[14] ۲/۰۱ [3] ۲/۰۱۶۴۵

خلاصه و نتیجه گیری

در این مقاله یک روش بهبودیافته انتقال پایدار ارائه شده است. در این الگوریتم اولین مرتبه قابلیت اعتماد، طول گام به صورت دینامیکی پیشنهاد شده است. صحت همگرایی، کارایی و توانمندی این روش با چندین مثال بررسی شد که نتایج حاکی از آن است که روش ارائه شده، استفاده موفقیت آمیزی در مسائل بسیار غیرخطی و پیچیده مکانیکی و ریاضی دارد. روش بهبودیافته انتقال پایدار از توانمندی بسیار

بالایی نسبت به روش HL-RF و گرادیان مزدوج برخوردار است و نسبت به روش انتقال پایدار توانمندتر است.

روش ارائه شده علاوه بر کارایی به نتایج مشابه با روش های اولین مرتبه قابلیت اعتماد همگرا شده است. از این رو این روش نه تنها همگرایی مناسب تحلیل مرتبه اول قابلیت اعتماد سازه ها را تضمین می کند بلکه از روش انتقال پایدار و طول گام بی نهایت نیز کارا تر است.

مراجع

1. Hasofer, A.M. and Lind, N.C., "Exact and invariant second moment code format", *Journal of the Engineering Mechanics Division*, Vol. 111, No. 21, pp. 111-121, (1974).
2. Elegbede. C., "Structural reliability assessment based on particles swarm optimization", *Structural Safety*, Vol. 27, No. 2, pp. 171-186, (2005).
3. Keshtegar, B. and Miri, M., "Introducing Conjugate gradient optimization for modified HL-RF method", *Engineering Computations*, Vol. 31, No. 4, pp. 775-790, (2014).
4. Rackwitz, R. and Fiessler, B., "Structural reliability under combined load sequences", *Computers and Structures*, Vol. 9, No. 8, pp. 489-494, (1978).
5. Liu, P.L. and Kiureghian, A.D., "Optimization algorithms for structural reliability", *Structural Safety*, Vol. 9, No. 3, pp. 161-178, (1991).
6. Santosh. T. V., Saraf. R.K., Ghosh. A.K. and Kushwaha. H.S., "Optimum step length selection rule in modified HL-RF method for structural reliability", *International Journal of Pressure Vessels Piping*, Vol. 83, No. 10, pp. 742-748, (2006).
7. Yang, D., "Chaos control for numerical instability of first order reliability method", *Communications in Nonlinear Science and Numerical Simulation*, Vol. 5, No. 10, pp. 3131-3141, (2010).
8. Gong, J.X. and Yi, P., "A robust iterative algorithm for structural reliability analysis", *Structural and Multidisciplinary Optimization*, Vol. 43, No. 4, pp. 519-527, (2011).
9. Keshtegar, B. and Miri, M., "An enhanced HL-RF Method for the computation of structural failure probability based on relaxed approach", *Civil Engineering Infrastructures*, Vol. 1, No. 1, pp. 69-80, (2013).
۱۰. کشته گر، بهروز، میری، محمود، «ارائه روشی جدید برای ارزیابی قابلیت اعتماد سازه ها»، *مجله مدل سازی در مهندسی*، سال ۱۲، شماره ۳۶، صص ۴۲-۲۹، (۱۳۹۳).
11. Yang, D., Li, G. and Cheng, G., "Convergence analysis of first order reliability method using chaos theory", *Computers and Structures*, Vol. 84, Vol. 8-9, pp. 563-571, (2006).
12. Wang, L.P. and Grandhi, R.V., "Efficient safety index calculation for structural reliability analysis", *Computers and Structures*, Vol. 52, No. 1, pp. 103-111, (1994).
13. Schmelcher, P. and Diakonov, F.K., "General approach to the localization of unstable periodic orbits in chaotic dynamical systems", *Physical Review Letters*, Vol. 57, No.1, pp. 2739-2754, (1998).
14. Yang, D.X. and Yi, P., "Chaos control of performance measure approach for evaluation of probabilistic constraints", *Structure Multidisciplinary Optimization*, Vol. 38, No. 1, pp. 83-92, (2009).
15. Kiureghian, A.D. and Stefano, M.D., "Efficient algorithm for second-order reliability analysis", *Journal of Engineering Mechanics*, Vol. 117, No. 12, pp. 2904-2923, (1991).